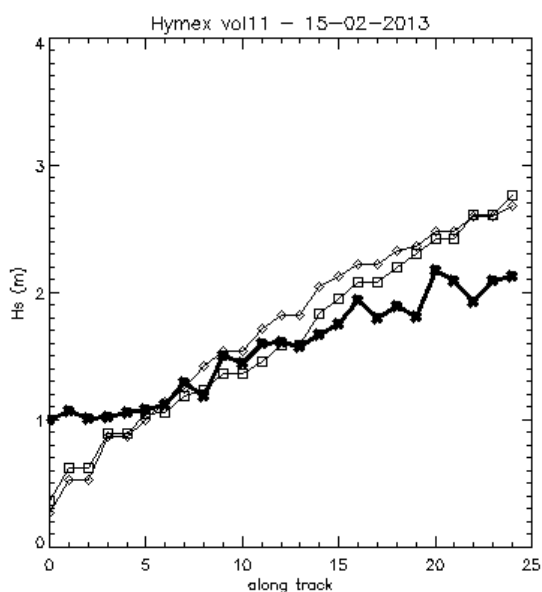


Champ de vent (modèle ARPEGE) le 15 février 2013 au moment d'un des vols KuROS pendant la campagne HyMeX. En noir : points d'acquisition des données KuROS le long de la trajectoire de l'ATR-42, lors des paliers à 2000 m (symboles fermés), et 3000 m (symboles ouverts). Axe A-B : correspond aux résultats illustrés aux figures b et c. Point rouge en B : position de la bouée vent/vagues.

Wind field (model ARPEGE) on 15 February 2013 during one of the KuROS flights of the HYMeX campaign. Black: acquisition points of KuROS data along the path of the ATR-42, during levels at 2000 m (closed symbols), and 3000 m (opened symbols). Axis A-B: corresponds to the results illustrated in the figures b et c. Red point in B: position of the wind/waves buoy.



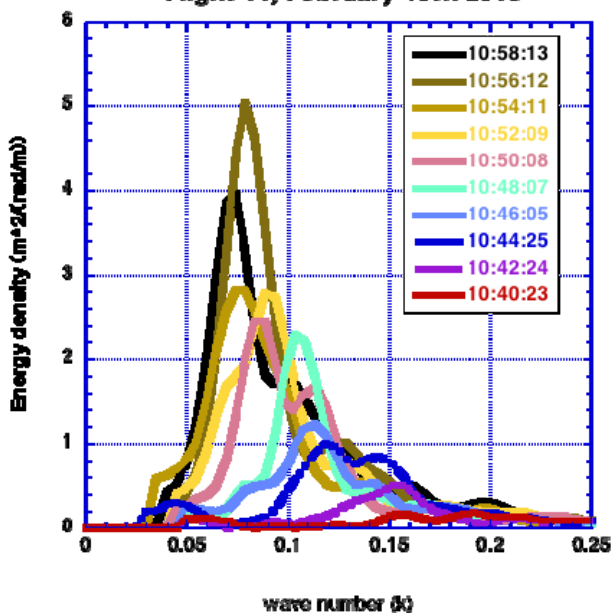
Hauteur significative des vagues le long de l'axe A-B de la figure a ci-dessus, pour le 15 février 2013.

Trait gras : résultats issus du radar KuROS (traitement LATMOS). Traits fins : modèle MFWAM aux deux points de grille les plus proches.

Significant height of waves along the axis A-B of the figure above, on 15 February 2013

Bold line results from the radar KuROS (LATMOS processing). Thin line: model MFWAM at the nearest grid-points.

### Kuros Omni-directional spectra from coast to Lion buoy Flight 11, February 15th 2013



Spectres omnidirectionnels des vagues en fonction du nombre d'onde à partir des observations KuROS acquises le long de l'axe A-B de la figure a ci-dessus.

Omnidirectional spectra of the waves versus the wave number from the KuROS observations acquired along the axis A-B of the figure above.